

АДК 537.226

## НЕСТАЦИОНАРНОЕ НЕОДНОРОДНОЕ УШИРЕНИЕ КОЛЕБАНИЙ В ОКРЕСТНОСТИ СТРУКТУРНОГО ФАЗОВОГО ПЕРЕХОДА

В. М. Бурлаков, А. Г. Митько

Предлагается способ описания обнаруженного ранее эффекта аномального поведения параметров полосы  $\omega = 318 \text{ см}^{-1}$  (в частности, параметра формы) в спектре  $\varepsilon''(\omega)$  в окрестности сегнетоэлектрического фазового перехода в кристалле  $\text{TlInS}_2$ . Описание экспериментальных зависимостей основано на взаимодействии соответствующей нормальной моды с мягкой модой. В результате численного расчета эффекта определены величины ряда микроскопических параметров, характеризующих взаимодействие, а также частота мягкой моды.

При исследовании температурной зависимости спектров ИК отражения  $\text{TlInS}_2$  было обнаружено аномальное поведение параметров полосы  $\omega = 318 \text{ см}^{-1}$  ( $T = 84 \text{ К}$ ) в спектре  $\varepsilon''(\omega)$  [1] в окрестности сегнетоэлектрического фазового перехода (ФП,  $T_c \approx 200 \text{ К}$ ). Особенно необычным оказалось поведение формы полосы: при температурах ниже 150 и выше 200 К форма полосы близка к лоренцевой, а внутри указанного интервала резко изменяется до гауссовой и обратно. В [1] предложено качественное объяснение экспериментальных зависимостей, основанное на взаимодействии соответствующей нормальной моды с мягкой модой.

Нам представлялось полезным провести численный расчет наблюдавшихся эффектов, в результате которого определены величины ряда микроскопических параметров, характеризующих упомянутое взаимодействие, и количественные характеристики мягкой моды в сегнетоэлектрической фазе. Последнее особенно важно, поскольку прямыми методами мягкую моду в сегнетофазе изучить пока не удалось. Изменение параметров спектра при структурных ФП связано, как известно, с взаимодействием колебаний с мягкой модой (ММ) [2]. Для собственного сегнетоэлектрика достаточно ограничиться взаимодействием вида

$$H_{\text{вз}} = \gamma Q_1 Q_2 \eta, \quad (1)$$

где  $Q_1, Q_2$  — жесткие моды, параметры которых исследуются;  $\eta$  — мягкая мода;  $\gamma$  — константа взаимодействия.

В низкотемпературной фазе появляется параметр порядка (ПП)  $\eta_0 = \langle \eta \rangle$ , в результате чего к частотам и интенсивностям колебаний  $Q_1$  и  $Q_2$  появляются соответствующие добавки [1]. Для описания изменения формы жестких колебаний необходимо наряду с  $\eta_0$  учесть еще динамику ПП, точнее, критическое замедление динамики при  $T \rightarrow T_c - 0$ . Нетрудно убедиться, что критическое замедление флуктуаций ПП приводит к изменению характера взаимодействия с ними жестких колебаний. Действительно, если флуктуации быстрые, т. е.  $\omega_m \tau_\phi \gg 1$  ( $\omega_m$  — частота мягкой моды,  $\tau_\phi^{-1} = \tau_1^{-1} + \tau_2^{-1}$  — время корреляции фазы колебаний  $Q_1$  и  $Q_2$ ), то взаимодействие (1) приводит к распаду возбуждений  $Q_1$  и  $Q_2$ , т. е. к уменьшению их времени жизни и, следовательно, к однородному уширению соответствующих уровней энергии. В пределе очень медленных флуктуаций  $\omega_m \tau_\phi \ll 1$  переменную  $\eta$  можно считать квазистационарной случайной

величиной. Тогда гамильтониан, содержащий взаимодействие (1), можно диагонализировать, в результате чего частоты колебаний  $Q_1$  и  $Q_2$  получают соответствующие случайные добавки [1]. Контур полосы поглощения будет определяться усреднением соответствующей случайной восприимчивости по полю флуктуаций  $\eta$ . Такая процедура приводит к неоднородному уширению. Поскольку величина  $\eta$  все же зависит от времени на временных масштабах  $T \gg \tau_\phi$ , где  $T$  — время взаимодействия с электромагнитным полем, это неоднородное уширение оказывается нестационарным.

Для описания температурного поведения параметров полосы жесткой моды (для определенности  $Q_1$ ) при любых значениях  $\omega_n \tau_\phi$  выделим в  $\eta$  квазистационарную и динамическую составляющие<sup>1</sup>

$$\eta = \langle \eta \rangle_\tau + \tilde{\eta}, \quad \langle \tilde{\eta} \rangle_\tau = 0, \quad (2)$$

где знак  $\langle \rangle_\tau$  означает усреднение по времени в течение интервала  $\tau_\phi$ . Подставляя (2) в (1), получаем

$$H_{ns} = \gamma Q_1 Q_2 \langle \eta \rangle_\tau + \gamma Q_1 Q_2 \tilde{\eta}. \quad (2a)$$

Первый член в правой части (2a) определяет неоднородное уширение, а второй приводит к уменьшению времени жизни. Полное время жизни возбуждения  $Q_1$  может быть представлено в виде

$$\tau_1 = (\gamma_1 + W_a)^{-1}, \quad (3)$$

где  $W_a$  — затухание, связанное с переходами между состояниями  $Q_1$  и  $Q_2$  под действием возмущения  $\gamma \tilde{\eta}(t)$ ;  $\gamma_1$  — затухание, связанное со всеми другими диссипативными взаимодействиями.

Вероятность перехода  $W_a$  в общем виде определяется выражением

$$W_a = \gamma^2 \int \rho_1(E) \rho_2(E + \omega) |V_{12}(\omega)|^2 dE d\omega, \quad (4)$$

где  $V_{12}(\omega) = \tilde{\eta}(\omega)$  — Фурье-компоненты матричного элемента перехода;  $\rho_1(E)$ ,  $\rho_2(E)$  — спектральные плотности состояний  $Q_1$  и  $Q_2$  соответственно. В общем случае функции  $\rho_1$  и  $\rho_2$  представляют собой лоренцианы. Без ограничения общности можно считать спектр флуктуаций ПП  $\delta$ -образным<sup>2</sup>

$$\tilde{\eta}(\omega) = \tilde{\eta} \delta(\omega - \omega_n). \quad (5)$$

Хотя это приближение является заведомо грубым вблизи  $T_c$ , однако, как будет видно из дальнейшего, конечный результат существенно зависит от характерной частоты спектра флуктуаций ПП и почти не зависит от его формы и ширины.

При сделанных предположениях получаем

$$W_a = (\gamma \tilde{\eta})^2 \frac{A}{(\bar{\omega}_1 - \bar{\omega}_2 - \omega_n)^2 + (2\tau_\phi)^{-1}}, \quad (5a)$$

$$\bar{\omega}_{1,2} = \omega_{1,2} \pm \frac{\gamma^2 \langle \eta \rangle_\tau^2}{(\omega_1^2 - \omega_2^2) \cdot 2\omega_{1,2}}, \quad (5b)$$

$$\langle \eta \rangle_\tau = \gamma_0 + (\eta - \gamma_0) \frac{\sin \omega_n \tau_\phi}{\omega_n \tau_\phi}, \quad (5b)$$

$$\eta = \begin{cases} [\alpha' \beta]^{1/2}, & T < T_c, \\ 0, & T \geq T_c. \end{cases} \quad (5g)$$

$$\omega_n = C (T_c - T)^{1/2}.$$

Здесь  $\alpha = \alpha'(T_c - T)$  и  $\beta$  — параметры разложения термодинамического потенциала в ряд по степеням параметра порядка

<sup>1</sup> По отношению к временному интервалу  $\tau_\phi$ .

<sup>2</sup> Подразумевается, что флуктуации являются колебательными.

$$\Phi(\tau) = -a\tau^2 + \frac{\beta}{2}\tau^4. \quad (6)$$

Интенсивность колебания  $Q_1$  в ИК спектре определяется выражением

$$I(\omega) = f_1 \int \left\{ \frac{\omega_1(\omega_1^2 - \omega_3^2)^2}{(\omega_1^2 - \omega_3^2)^2 + \gamma^2 \langle \eta \rangle_\tau^2} \right\} \left[ \frac{(\tau_1^{-1} + W_a) \cdot 2}{(\bar{\omega}_1 - \omega)^2 + (\tau_1^{-1} + W_a)^2/4} \right] P(\eta) d\eta, \quad (7)$$

где  $f_1$  — сила осциллятора колебания  $Q_1$ , равная 0.3,

$$P(\eta) = Z^{-1} \exp\{-\Phi(\eta)/kT\}, \quad Z = \int \exp\{-\Phi(\eta)/kT\} d\eta.$$

Множитель в фигурных скобках (7) определяет изменение силы осциллятора колебания  $Q_1$  (активного в ИК и выше  $T_c$ ) в результате подмешивания колебания  $Q_2$ , причем коэффициент смешивания флуктуирует, так что этот множитель определяет неоднородное уширение. Множитель в квадратных скобках представляет собой мнимую часть восприимчивости осциллятора, время жизни которого зависит от температуры за счет  $W_a$  (см. (5а)). Этот множитель описывает однородный контур.

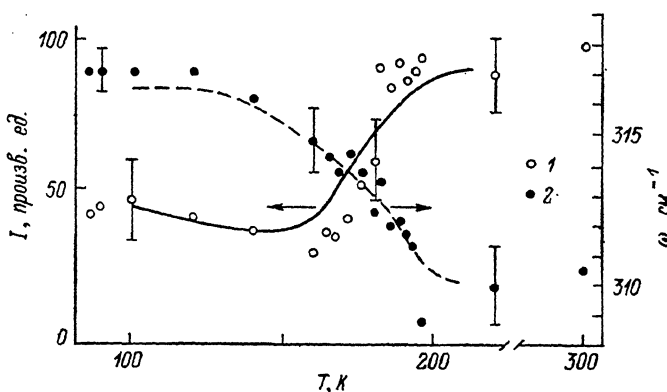


Рис. 1. Температурные зависимости интегральной интенсивности  $I$  (1) и частоты  $\omega_1$  колебания  $Q_1$  (2). Сплошные кривые — расчет по формуле (7).

Заметим, что выражение (7) правильно описывает оба предельных случая.

1. Случай быстрых флуктуаций,  $\omega_m \tau_\phi \gg 1$ . При этом в соответствии с (5в)  $\langle \eta \rangle_\tau \simeq \eta_0$  и случайный разброс  $\omega_1$ , связанный с флуктуациями  $\eta$ , практически исчезает (см. (7)). Следовательно, форма полосы является лоренцевой с полушириной  $\gamma_1 = \tau_1^{-1} + W_a$ .

2. В случае квазистатических флуктуаций ( $\omega_m \tau_\phi \ll 1$ )  $\langle \eta \rangle_\tau \simeq \eta$ , следовательно,  $\tilde{\eta} = \eta - \langle \eta \rangle_\tau \simeq 0$  и однородное уширение исчезает ( $W_a \simeq 0$ ), а контур полосы определяется главным образом флуктуациями  $\eta$ .

Здесь уместно сказать о влиянии ширины спектра флуктуаций ПП на точность определения искомых параметров. Рассмотрим выражения (5а) и (5в). В первом введен подгоночный параметр  $A$ , который позволяет грубо учесть ширину спектра  $\tilde{\eta}(\omega)$ . Например, если спектр лоренцевский и очень широкий ( $\gamma_\eta \gg \gamma_1$ ), то  $A \simeq 1/\gamma_\eta$ .

Выражение (5в) можно переписать в виде

$$\langle \eta \rangle_\tau = \eta_0 + \int \eta(\omega) \frac{\sin \omega \tau_\phi}{\omega \tau_\phi} d\omega.$$

Если флуктуации быстрые, т. е.  $\omega \tau_\phi \gg 1$  для всех  $\eta(\omega) \neq 0$ , то интегралом в правой части можно пренебречь. В случае медленных флуктуаций  $\omega \tau_\phi \ll 1$  имеем  $\langle \eta \rangle_\tau = \eta_0 + \int \eta(\omega) d\omega = \eta$ , т. е. спектр в этом случае не важен. Более чувствительной к виду спектра оказывается промежуточ-

ная область  $\omega\tau_\phi \sim 1$ . Однако используемый подход в промежуточной области носит интерполяционный характер, так что учет ширины и формы спектра флуктуаций ПП представляется превышением точности.

Расчет параметров полосы в спектре  $\varepsilon''(\omega)$  проводился поэтапно. Сначала при помощи (7) для  $\langle \eta \rangle_\tau = \eta_0$  определялись величины  $\omega_1$ ,  $\omega_2$  и  $\gamma$  из подгонки экспериментальных кривых  $I(T)$  и  $\omega_1(T)$  (с учетом того, что  $\bar{\omega}_2(T=84\text{ К})=288\text{ см}^{-1}$  [1]). Затем полученные значения параметров использовались при подгонке  $S(T)$  и  $N(T)$ , в которой варьировались  $A$ ,  $\alpha'$ , и  $C$ . При этом предполагалось, что  $\tau_1 = \tau_\phi/2 = 2\text{ см}^{-1}$ . Следующее

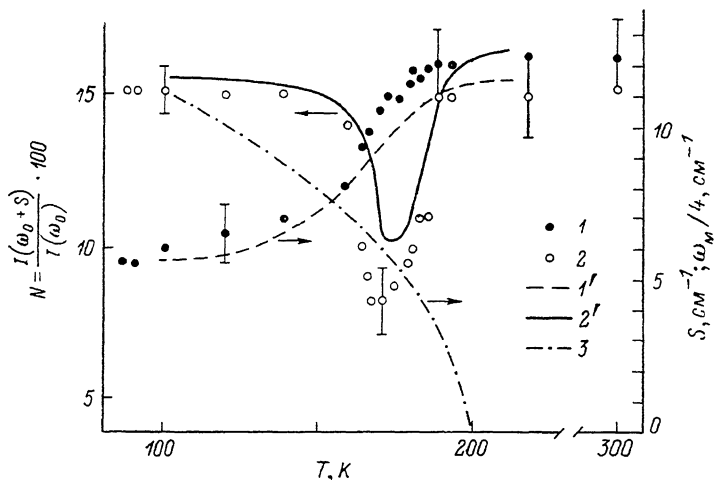


Рис. 2. Температурные зависимости полуширины (1), параметра формы (2), частоты мягкой моды  $\omega_m$  (3).

Кривые 1', 2', 3 — расчет.  $N=20$  (лоренц) и  $N=6.3$  (гаусс).

приближение получалось повторением процедуры с учетом  $\langle \eta \rangle_\tau \neq \eta_0$ . Расчетные кривые (рис. 1, 2) удовлетворительно аппроксимируют экспериментальные зависимости при значениях параметров:  $\omega_1=305\text{ см}^{-1}$ ,  $\omega_2=300\text{ см}^{-1}$ ,  $\gamma=6 \cdot 10^3\text{ см}^{-2}$ ,  $A=0.1$ ,  $\alpha'/k_B=1$ ,  $C=4.9\text{ см}^{-1} \cdot \text{град}^{-1/2}$ .

Таким образом, изучая форму контура полосы, взаимодействующего с ПП колебаниями в окрестности структурного ФП, можно получить дополнительную информацию о динамике ПП.

Авторы выражают признательность И. В. Лернеру за ряд полезных замечаний при подготовке настоящего варианта статьи.

#### Л и т е р а т у р а

- [1] Бурлаков В. М., Виноградов Е. А., Нуров Ш., Гасанлы Н. М. ФТТ, 1985, т. 27, № 11, с. 3365—3368.  
 [2] Petzelt J., Dvorak V. J. Phys. C., 1976, vol. 9, N 7, p. 1571—1586.

Институт спектроскопии АН СССР  
 Троицк  
 Московская область

Поступило в Редакцию  
 6 октября 1987 г.  
 В окончательной редакции  
 26 апреля 1988 г.